

日立造船情報システム(株) 正会員○足立 寿伸  
 関西大学 工学部 正会員 米沢 博  
 関西大学 工学部 正会員 堂垣 正博

1. まえがき 縦横に補剛された板の圧縮強度に関する研究はかなり古くから行われ、多くの貴重なデータが蓄積されてきた。その中には、横補剛材の剛性に着目し、その最小半準剛度と座屈強度との関係を明らかにしたものも含まれている。一方、曲線鋼箱桁橋のフランジ部のようにその面内に曲率を有する補剛板の圧縮強度に関する研究は、弹性および塑性の二つに對してもほとんどなされていない。<sup>1)</sup> そこで、ここでは剛性タウアフラムと両腹板によって支持され、その間が数本の横補剛材で等間隔に補剛されるとともに、横補剛材間の各主材パネルが同一の円周方向補剛材によて補剛される場合の弾性圧縮座屈を明らかにする。主に横補剛材と座屈強度に注目し、横補剛材間の補剛パネルをそれと等価な直交異方性扇形板に置換する。それぞれの補剛パネルの接合部が横補剛材によって弹性支持されているものとし、数枚の補剛パネルからなる連続直交異方性扇形板として解析する。広範な數値計算を実施し、縦横比、曲率半径比、直交異方性扇形板の曲げ剛性比、横補剛材の本数、曲げ剛性比と座屈強度の関係を調べる。

2. 基礎微分方程式 Fig. 1 に示すような連続扇形補剛板の直線辺に一様分布の円周方向圧縮力が作用し、油線辺で半径方向変位が完全に拘束される場合を考える。このようにした場合、内部応力が未知なため、座屈前の応力解析が必要である。いま、補剛パネル上に着目すれば、膜力  $N_r$ 、 $N_\theta$  と膜せん断力  $N_{r\theta}$  は変位  $u_i$ 、 $v_i$  で次式のようく表される。

$$N_r = E_r u_{i,r} + \frac{E}{r} (u_i + v_{i,\theta}) ,$$

$$N_\theta = E_\theta u_{i,\theta} + \frac{E_0}{r} (u_i + v_{i,\theta}) ,$$

$$N_{r\theta} = N_{\theta r} = E_{r\theta} (v_{i,r} + \frac{1}{r} (u_{i,\theta} - v_i)) ,$$

ここに、 $E_r$  および  $E_\theta$  は直交異方性扇形板の半径および円周方向の伸び剛性、 $E_{r\theta}$  はせん断剛性、 $E_0 = \nu_r^m E_\theta = \nu_\theta^m E_r$  で、 $\nu_r^m$  および  $\nu_\theta^m$  は伸びに関する半径および円周方向ボアソン比である。なお、コンマの後の添字はそれに關する微分を表す。

半径および円周方向の力のつり合いを考慮、高次の項を無視すれば、次式が得られる。

$$E_r u_{i,rr} + \frac{(E_r + E_\theta)}{r} v_{i,r\theta} + \frac{E_\theta}{r^2} u_{i,\theta\theta} + \frac{E_r}{r} u_{i,r} + \frac{(E_\theta + E_0)}{r^2} v_{i,\theta} - \frac{E_\theta}{r^2} u_i = 0 ,$$

$$E_\theta u_{i,rr} + \frac{(E_r + E_\theta)}{r} u_{i,r\theta} + \frac{E_0}{r^2} v_{i,\theta\theta} + \frac{E_\theta}{r} v_{i,r} + \frac{(E_\theta + E_0)}{r^2} u_{i,\theta} - \frac{E_{r\theta}}{r^2} v_i = 0 ,$$

前述のように、境界条件は、直線辺で  $N_r = -N_\theta$ 、 $N_{r\theta} = 0$ 、油線辺で  $u_i = 0$ 、 $N_{r\theta} = 0$  となる。また、接合部での連続条件は、半径および円周方向変位の連續性、円周方向膜力および膜せん断力の連続性となり次式となる。すなはち、 $\theta = \theta_i$  の接合部では、

$$u_i = u_{i+1} , \quad v_i = v_{i+1} ,$$

$$N_{r,i} = N_{r,i+1} , \quad N_{\theta,i} = N_{\theta,i+1} ,$$

となる。つり合式と境界および連続条件式から変位  $u_i$ 、 $v_i$  を求めれば、座屈前の板内部の応力が決定できる。

座屈時の鉛直方向の力のつり合式は次のようになる。

$$Dr (w_{i,rrrr} + \frac{2}{r} w_{i,rrr}) + Z(D_r + 2D_\theta) (\frac{1}{r^2} w_{i,rr\theta} - \frac{1}{r^3} w_{i,r\theta\theta} + \frac{1}{r^4} w_{i,\theta\theta\theta}) + D_\theta (\frac{1}{r^4} w_{i,0000} - \frac{1}{r^2} w_{i,00\theta} + \frac{2}{r^3} w_{i,\theta\theta} + \frac{1}{r^2} w_{i,r})$$

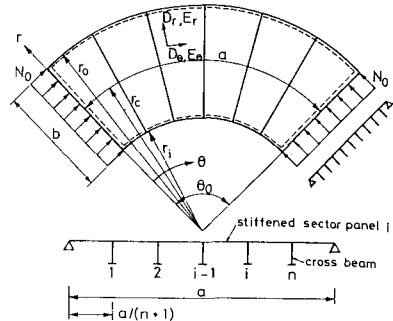


Fig. 1

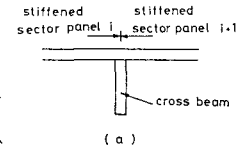


Fig. 2

$$= N_F \cdot w_{i,rr} + N_\theta (\frac{1}{r} w_{i,r} + \frac{1}{r^2} w_{i,\theta\theta}) + Z N_{F\theta} (\frac{1}{r} w_{i,r\theta} - \frac{1}{r^2} w_{i,\theta\theta})$$

ここで、 $D_F$ ,  $D_\theta$  は直交異方性扇形板の半径および円周方向曲げ剛さ、 $D_{F\theta}$  はねじれ剛さ、 $D_1 = 2^\frac{1}{2} D_F = 2^\frac{1}{2} D_\theta$  で、 $2^\frac{1}{2}$  は曲げに関するポアソン比である。連続扇形補剛板は周辺で単純支持されているものとする。また、各補剛パネルの接合部ではたわみ、たわみ角が連続し、面補剛パネルの円周方向曲げモーメントおよび反力が横補剛材にねじれモーメントおよび分布荷重として作用するから、次の条件式が得られる (Fig. 2)。

$$\bar{w}_i = \bar{w}_{i+1}, \quad \bar{w}_{i,\theta} = \bar{w}_{i+1,\theta}$$

$$\frac{C_r}{r} \bar{w}_{i,rr} = D_F \bar{w}_{i,rr} + D_\theta (\frac{1}{r} \bar{w}_{i,r} + \frac{1}{r^2} \bar{w}_{i,\theta\theta}) - \{ D_F \bar{w}_{i+1,rr} + D_\theta (\frac{1}{r} \bar{w}_{i+1,r} + \frac{1}{r^2} \bar{w}_{i+1,\theta\theta}) \}$$

$$B_r \bar{w}_{i,r\theta\theta} = D_\theta (\frac{1}{r^2} \bar{w}_{i,\theta\theta} + \frac{1}{r^3} \bar{w}_{i,\theta\theta\theta}) + \frac{D_1}{r} \bar{w}_{i,r\theta\theta} + \frac{4D_{F\theta}}{r^2} \bar{w}_{i,r\theta} - \{ D_\theta (\frac{1}{r^2} \bar{w}_{i+1,\theta\theta} + \frac{1}{r^3} \bar{w}_{i+1,\theta\theta\theta}) + \frac{D_1}{r} \bar{w}_{i+1,r\theta\theta} + \frac{4D_{F\theta}}{r^2} \bar{w}_{i+1,r\theta} \}$$

座屈時の微分方程式に板内の応力を代入し、上の式と境界・連続条件式から弹性座屈強度が計算できる。

3. 敷値計算結果とその考察 敷値解析には差分法を採用し、擬点法によつて固有値を求める。円周方向の対称性より板の1/4領域を解析対象とし、対称および逆対称座屈の1/4個の場合も計算し、小さな方の座屈荷重を採用した。パラメータとして連続扇形補剛板の縦横比  $a/b$ 、曲率半径比  $R_i/R_o$ 、補剛パネルの曲げ剛さ比  $D_\theta/D_F$ 、横補剛材の本数  $n$ 、曲げ剛さ比  $B_r/BD$  を考える。円周方向補剛材のねじれ剛度を考慮せず、 $\beta = 0.3$  とすれば  $E_i/E_r = D_1/D_F = 0.3$ ,  $E_{F\theta}/E_r = D_{F\theta}/D_F = 0.35$  となる。また、横補剛材のねじれ剛さ比を無視し、 $C_r/bD = 0$  とする。補剛パネルごとに半径および円周方向にそれを12, 6分割し、倍精度計算を行つた。以下、 $D_\theta/D_F = 100$  の場合を考察する。

$B_r/BD = 50$  で、 $n = 1, 3$  の場合の座屈荷重曲線を Fig. 3 に示す。図中、 $m_0$  は円周方向座屈モードの半波数である。一般に、連続扇形補剛板の座屈には、連続補剛板が横補剛材とともにたわむる座屈と、すべての横補剛材が筋を形成する座屈が考えられる。以下、前者を全体座屈、後者を部分座屈と呼ぶ。 $n = 1$  で  $m_0 = 2$ ;  $n = 3$  で  $m_0 = 4$  と示す部分座屈の場合には曲率半径比が小さいほど、すなはち扇形度が大きいほど座屈強度はかなり低下する。一方、板が全体座屈する場合 ( $n = 1$  で  $m_0 = 1$ ;  $n = 3$  で  $m_0 = 1$  or 2) には曲率半径比は座屈強度に影響せず、 $R_i/R_o = 0.999$  で示す長方形板の強度にはほぼ等しい。横補剛材本数の増加は座屈強度の増大をもたらすが、全体座屈から部分座屈に移行する最小の縦横比は大きく異なる。

$n = 3$ ,  $a/b = 1$  の場合に対して曲率半径比と座屈荷重の関係を Fig. 4 に示す。実線は部分座屈、破線および一点鎖線は全体座屈の場合は  $R_i/R_o$  と  $K_{cr}$  の関係を示す。部分座屈の場合は、 $R_i/R_o$  の相違により座屈強度にかなりの差が生ずる。また、 $R_i/R_o$  の値が大きいほど全体座屈から部分座屈に移行するのに必要な  $B_r/BD$  の値は大きく、たとえば、 $R_i/R_o = 0.35$  で  $B_r/BD = 100$ , 0.82 で 400

となる。全体座屈の場合は曲率半径比は座屈強度に影響せず、

$B_r/BD$  の増加に伴い強度は増加する。

$n = 3$ ,  $a/b = 1$  の場合に対して、横補剛材の曲げ剛さ比と座屈荷重との関係を Fig. 5 に示す。 $m_0 = 1, 2$  (全体座屈) の場合は  $R_i/R_o$  の値には関係なく座屈強度は同一で、 $B_r/BD$  と  $K_{cr}$  は線形関係となる。板が部分座屈 ( $m_0 = 4$ ) を形成すると、 $m_0$  以上の  $B_r/BD$  の値に対して強度は変わらず一定値となる。また、長方形板に比べ扇形板にほどほど小さな横補剛材で部分座屈し、強度はかなり低下する。

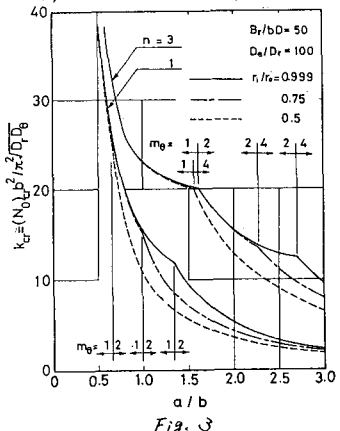


Fig. 3

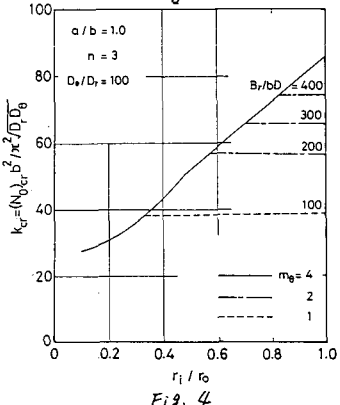


Fig. 4

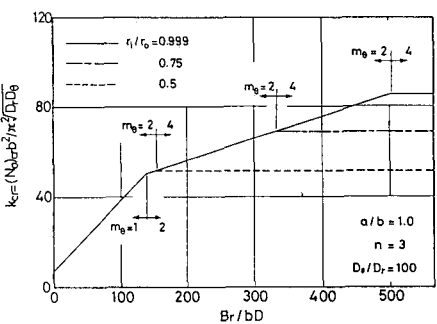


Fig. 5

1) 米沢・三上・堂垣・高田: 昭和55年度関西支部講演概要, I-31, 1980.